

- The Nobel Prize in Chemistry 2015 was awarded jointly to
- Tomas Lindahl,
- Paul Modrich and
- Aziz Sancar

"for mechanistic studies of DNA repair"

- Lindahl demonstrated that DNA is an inherently unstable molecule, subject to decay even under physiological conditions.
- Guided by this observation, Lindahl identified a completely new group of DNA glycosylases and described their role in base excision repair.

Fatto!

- Sancar has transformed the field of **nucleotide excision repair**, from genetics and phenomena in cell extracts, to a detailed molecular description of the mechanisms involved, first in bacteria, and later also in eukaryotic cells.
- Sancar also explained the molecular mechanisms underlying photoreactivation, the first form of DNA repair described

- Modrich transformed the field of **mismatch repair** from genetic observations to a detailed biochemical understanding, first in bacteria, and later in eukaryotic cells.

Riparazione degli errori di appaiamento (MMR)

Elimina le singole basi misappaiate ed i loop di inserzione-delezione che si formano durante la replicazione in presenza di brevi sequenze ripetute

Ripara il DNA con un'efficienza pari al 99,9%

Riconosce e ripara solo l'elica neosintetizzata che contiene i nucleotidi errati

E' compiuta da complessi multiproteici

Mechanisms in *E. coli* and Human Mismatch Repair (Nobel Lecture)

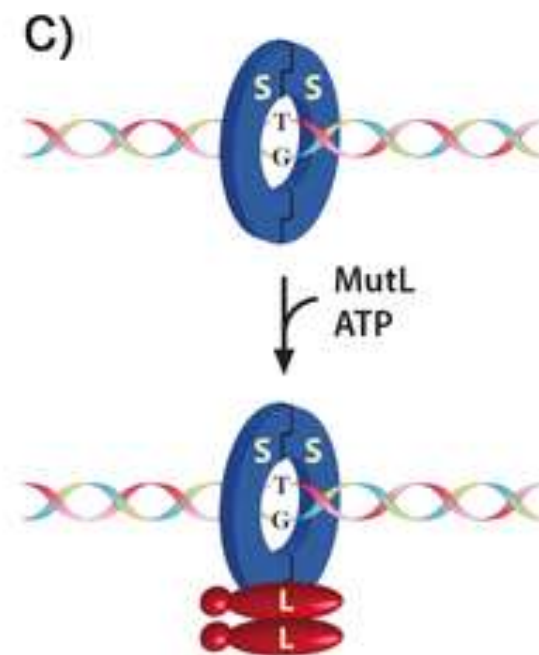
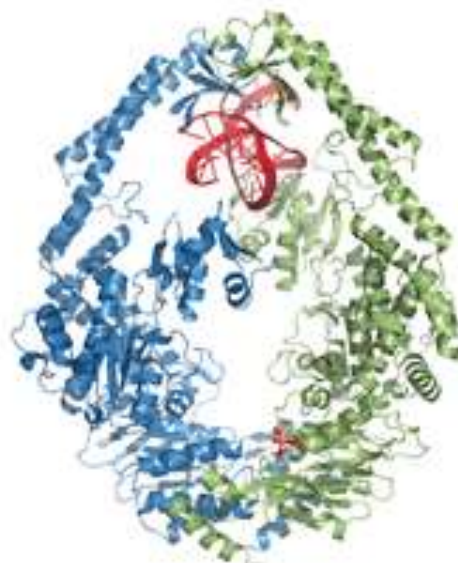
A) MutS binds mismatched base pairs

Apparent affinities of mutS protein for base pair mismatches

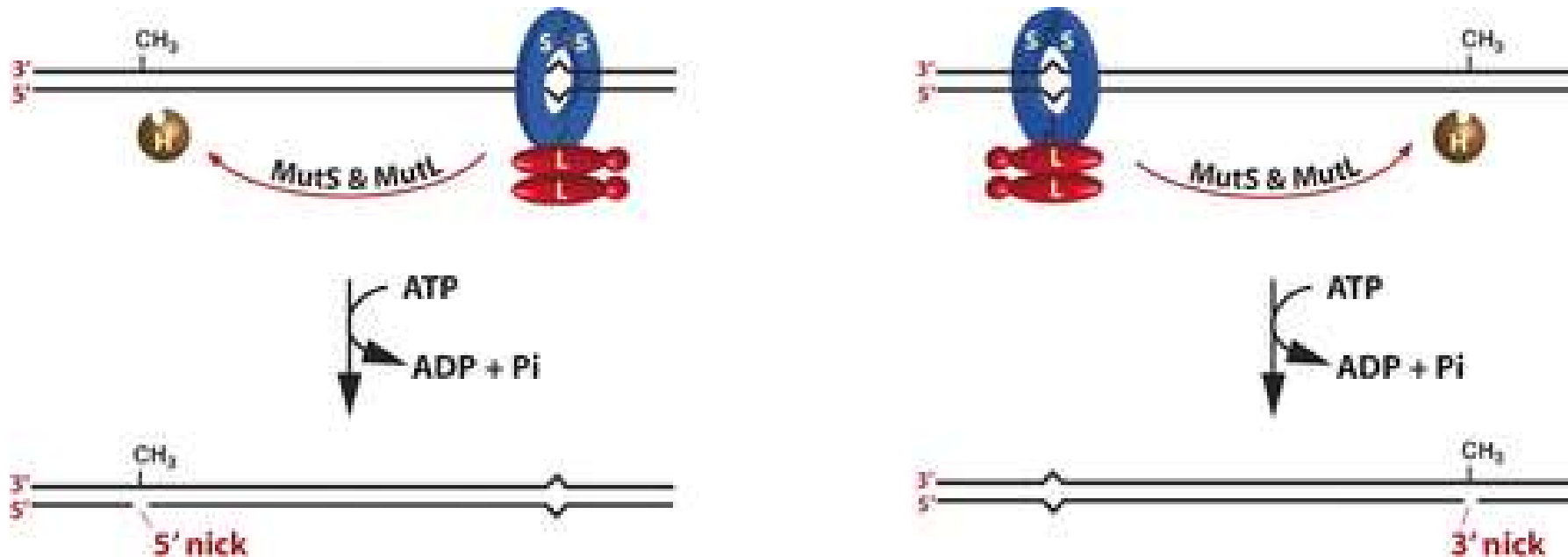
Mismatch	Apparent dissociation constant <i>nM</i>
G-T	39 ± 4
A-C	53 ± 4
A-A	110 ± 7
T-T	140 ± 9
G-G	150 ± 10
A-G	270 ± 30
C-T	370 ± 40
C-C	480 ± 50

AFFINITÀ'

B)

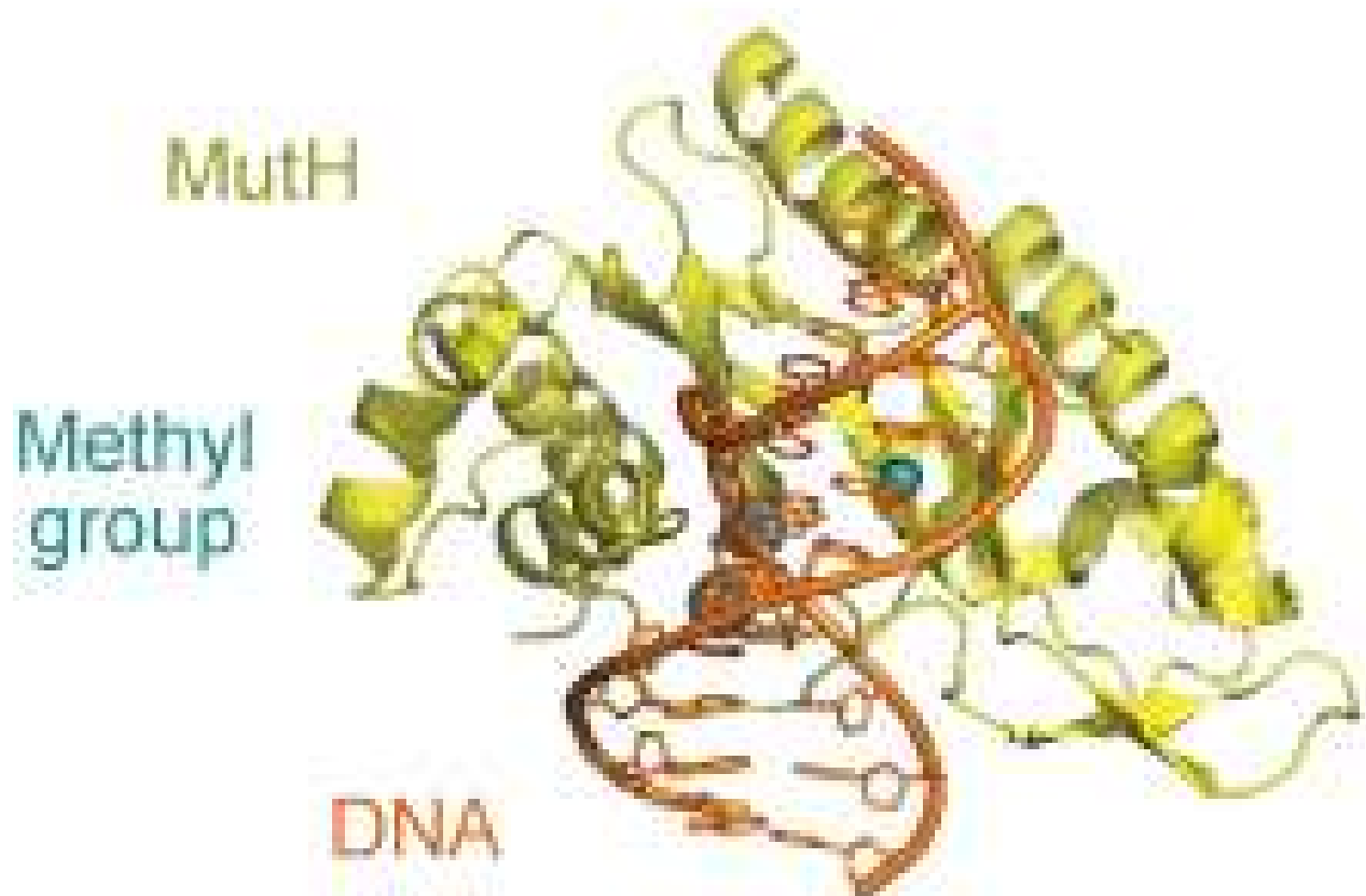


Mechanisms in *E. coli* and Human Mismatch Repair (Nobel Lecture)

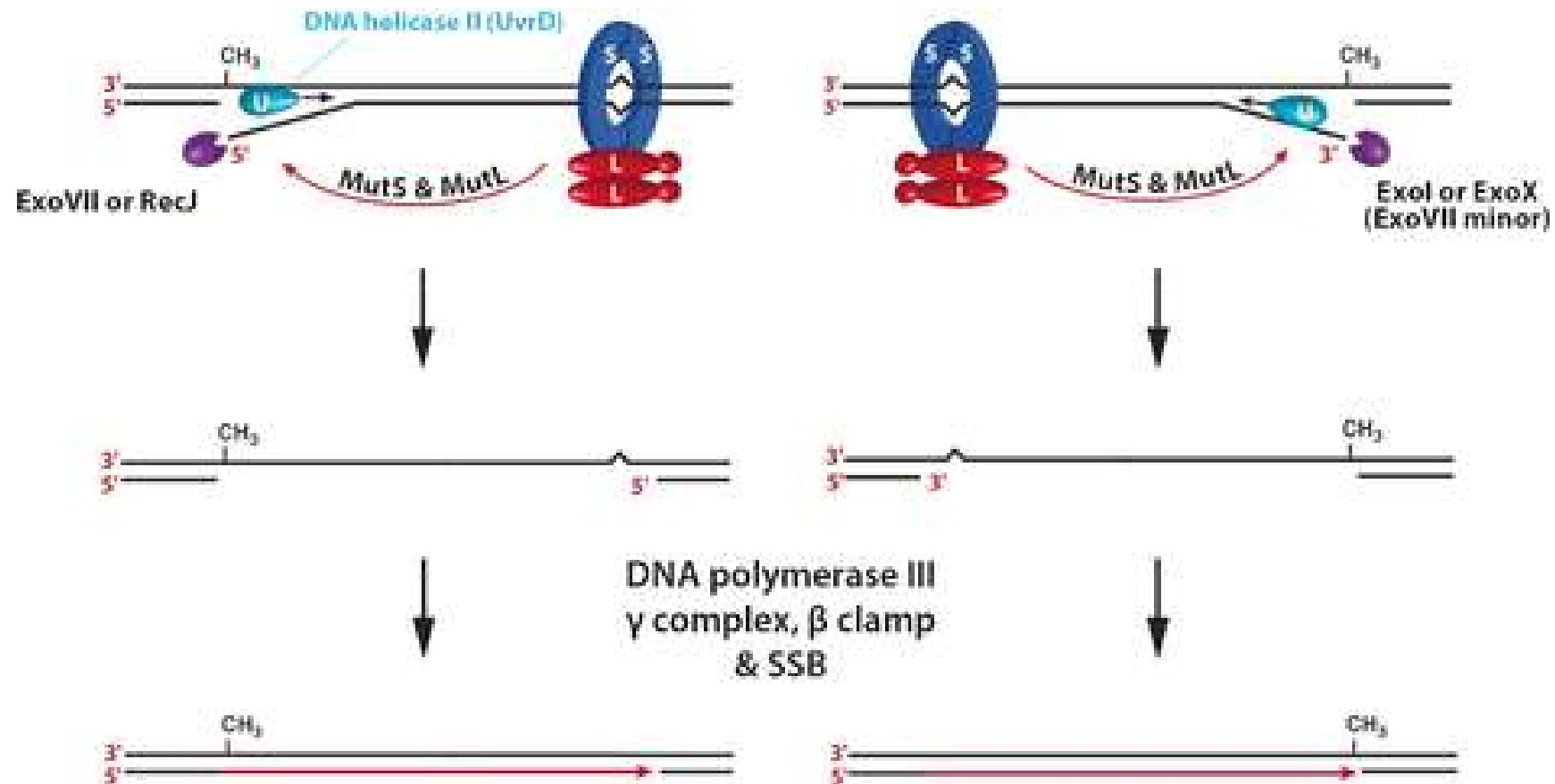


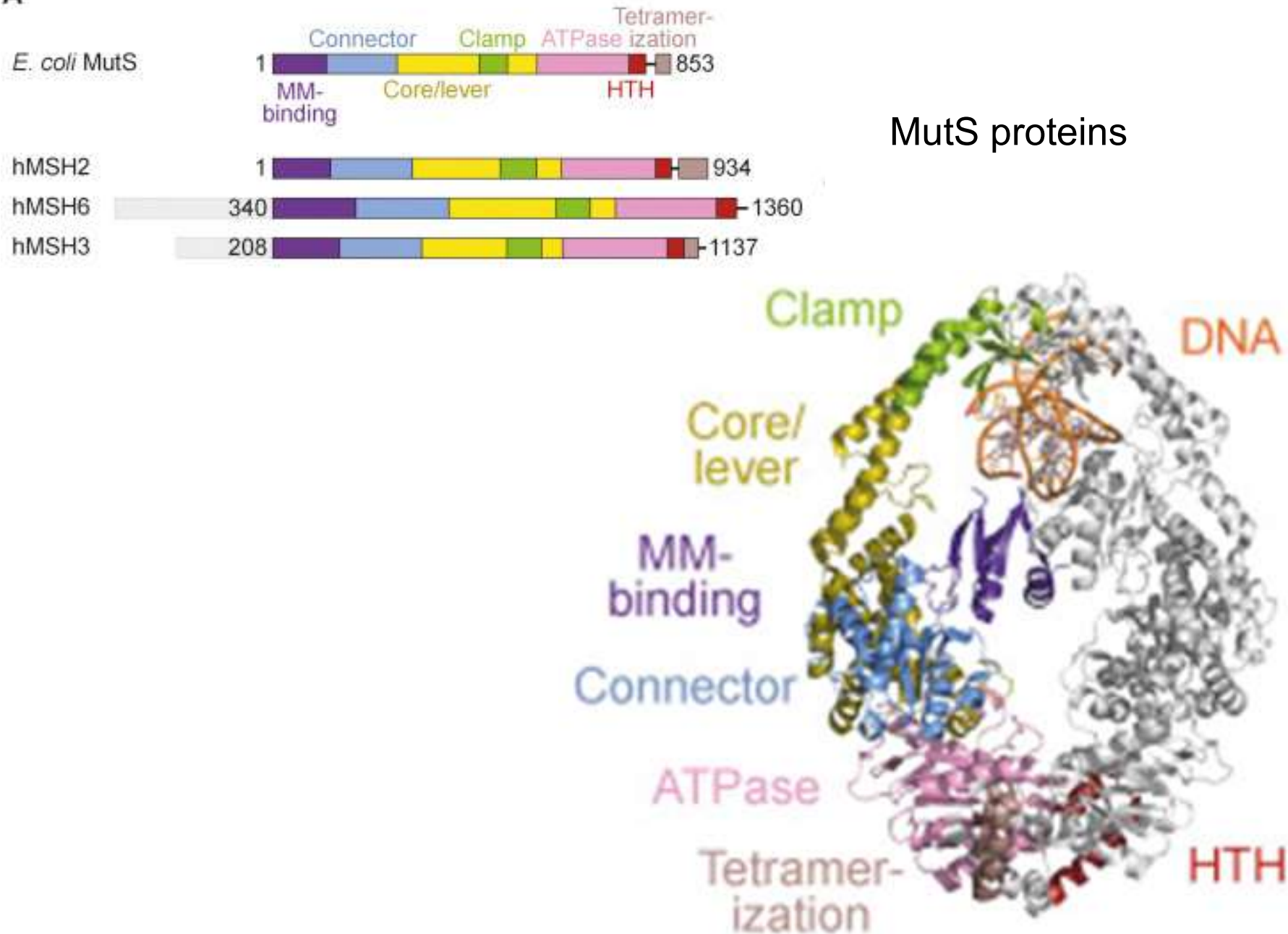
A

MutH protein (yellow) bound to hemimethylated DNA
(methyl group shown as sphere)



Mechanisms in *E. coli* and Human Mismatch Repair (Nobel Lecture)



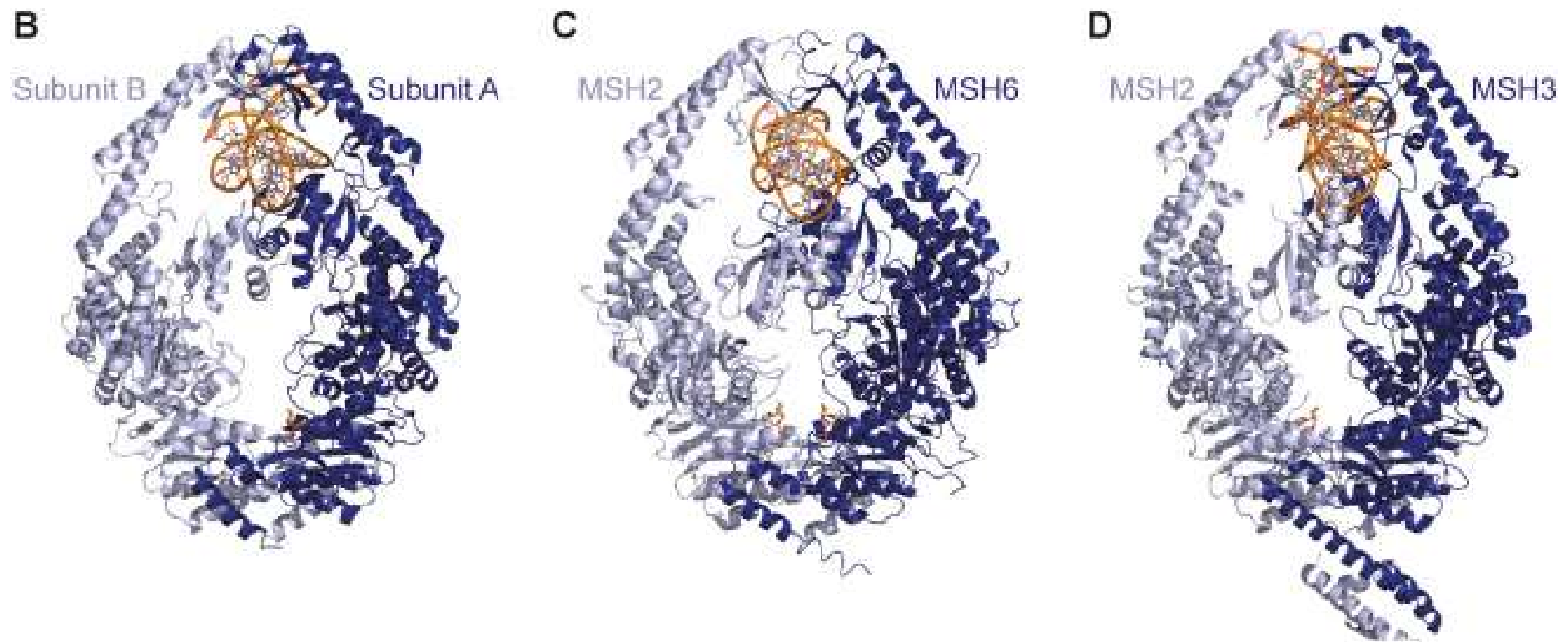
A

MutS proteins

E.Coli MutS
bound to a GT mismatch

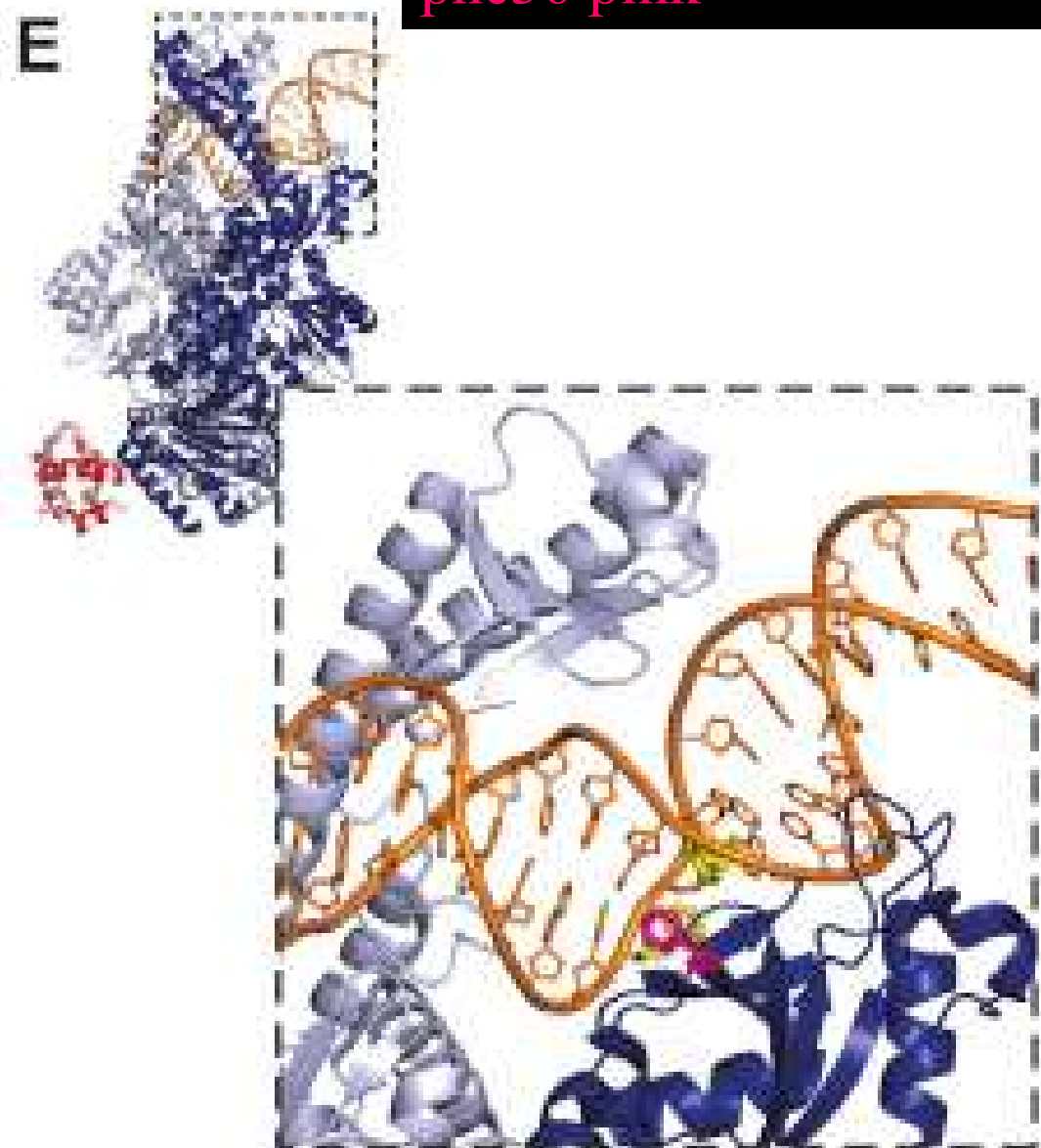
human MutS α

MutS β bound to a 3-base del



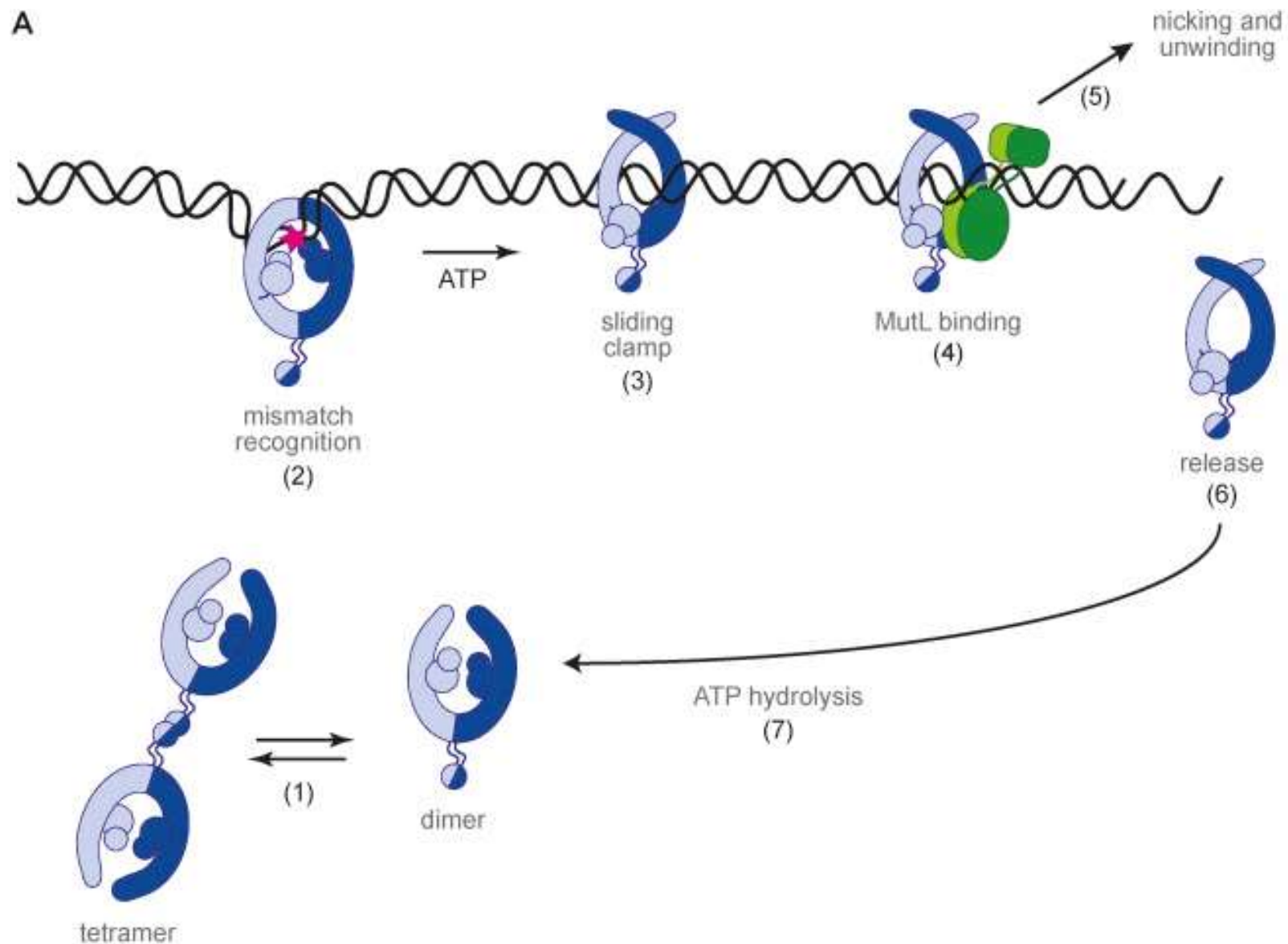
Mismatch yellow;
phe36 pink

E

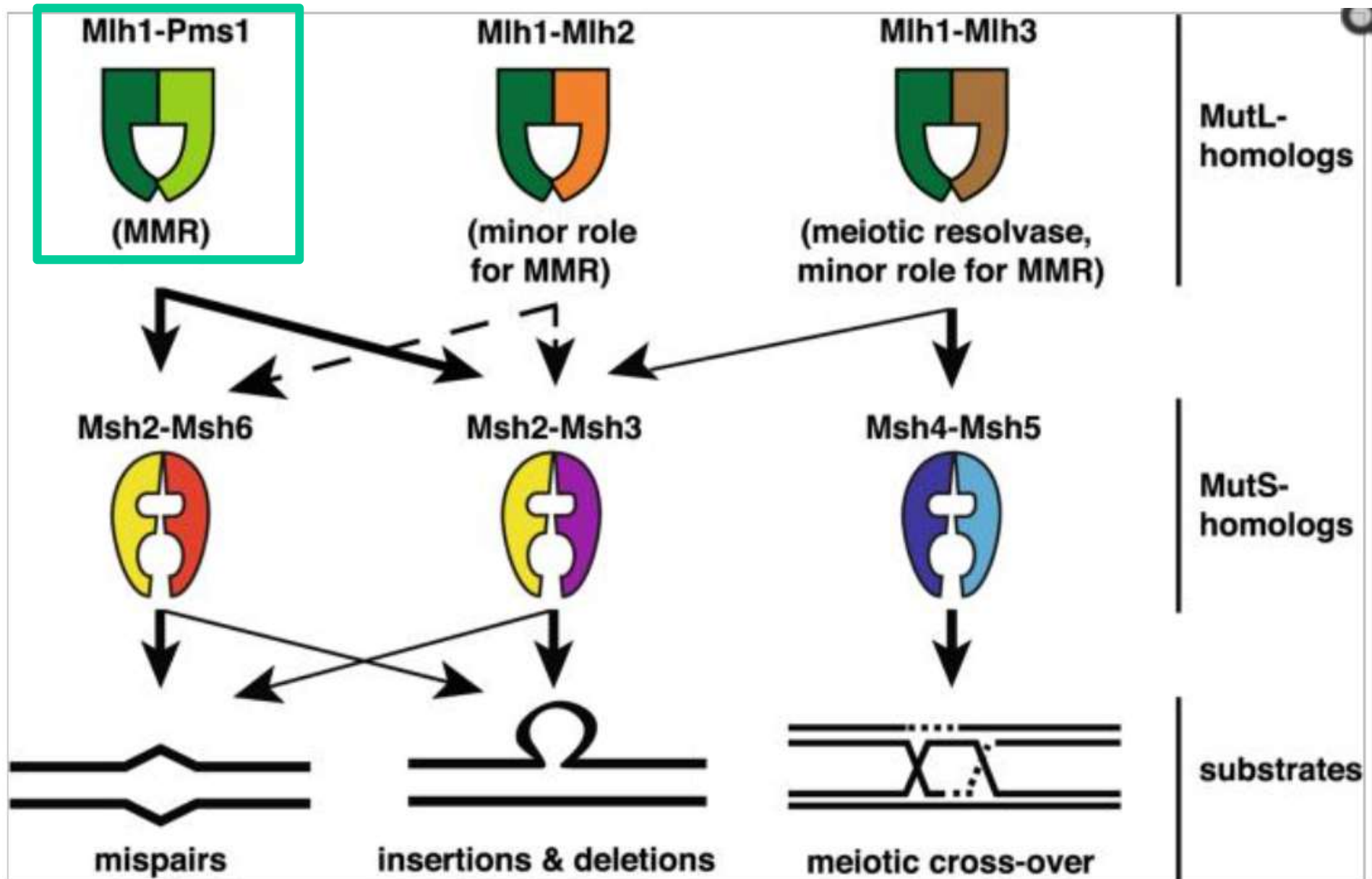


The conserved molecular machinery in DNA mismatch repair enzyme structures

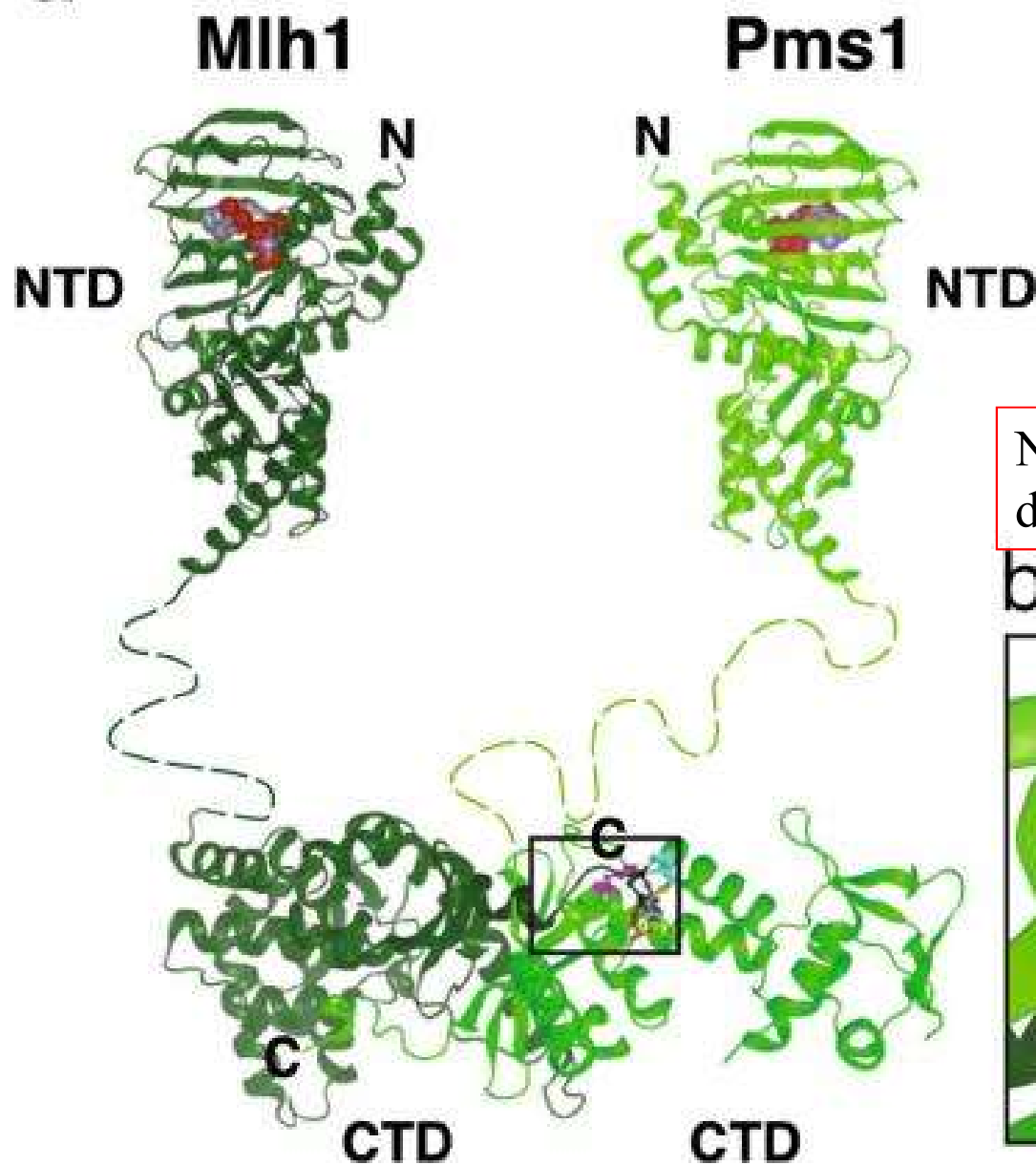
predominant states of the MutS cycle



Omologia di MutS/MutL negli eucarioti

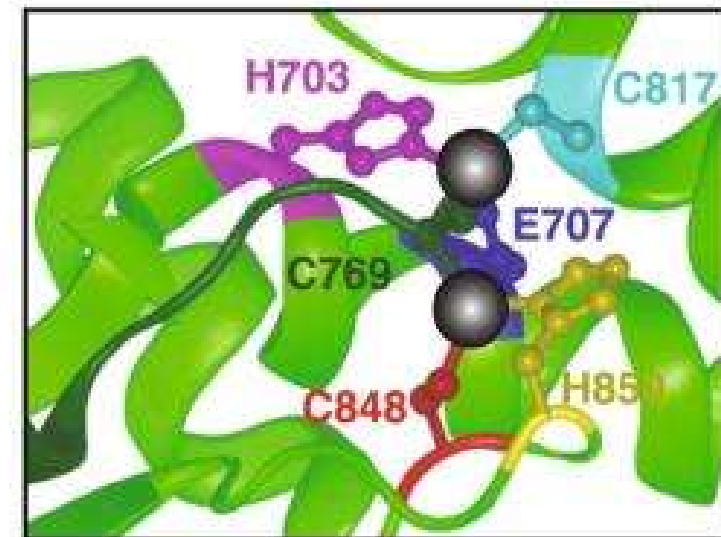


a



Pms1

b

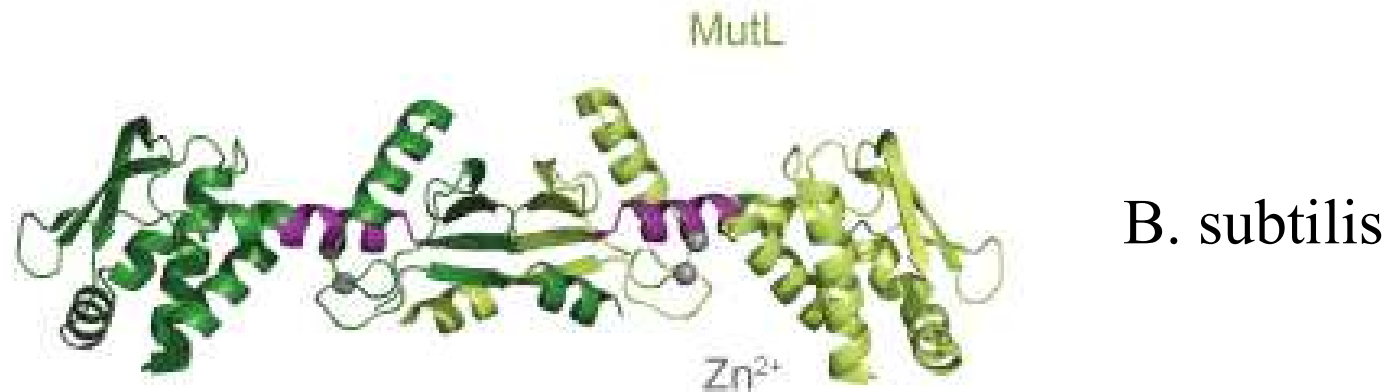


endonuclease site
metal binding pocket (metal ions in black)

Negli eucarioti gli omologhi
di MutL hanno attività di taglio

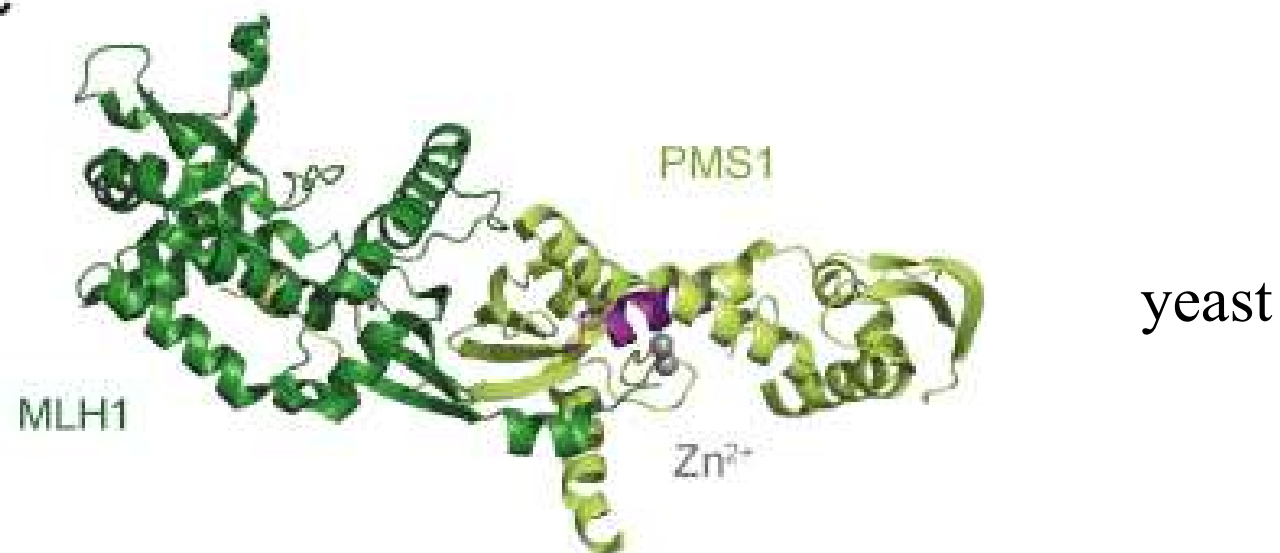
endonucleases in MMR

B

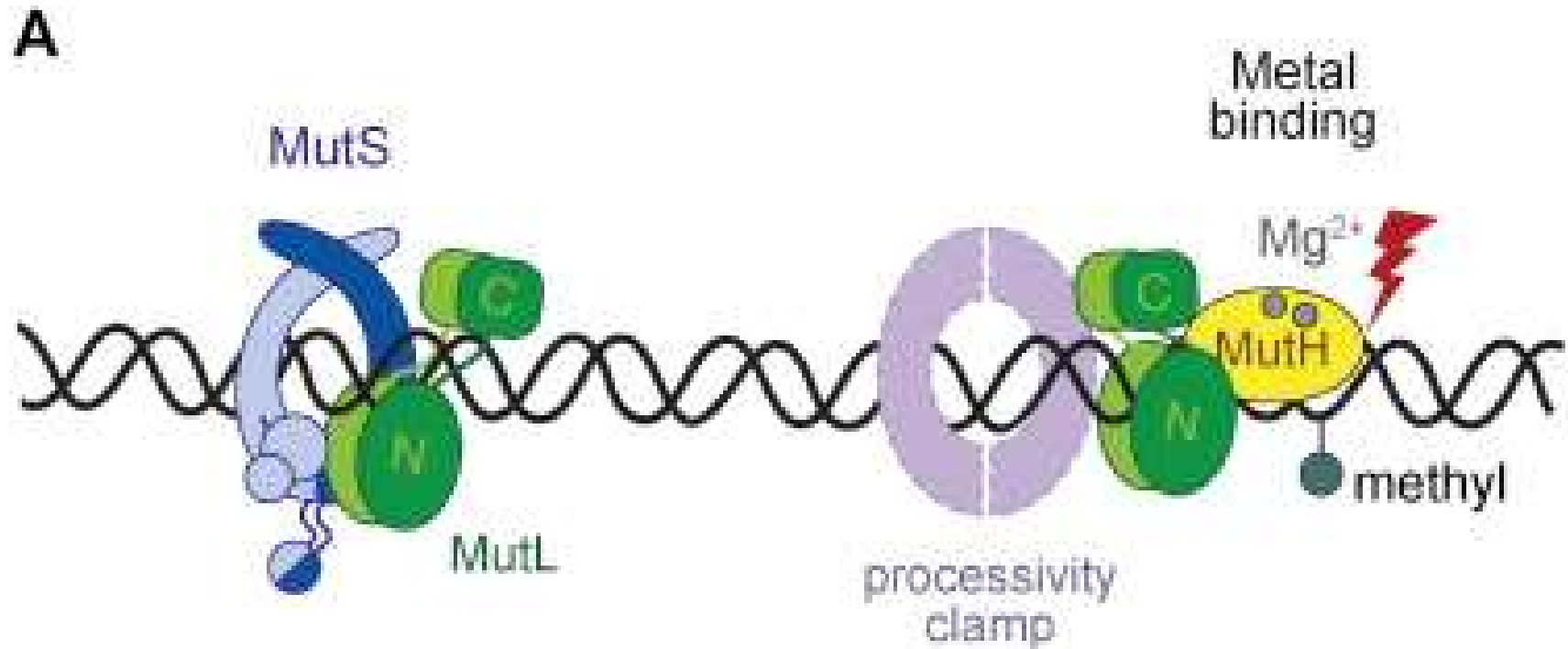


endonuclease motif

C



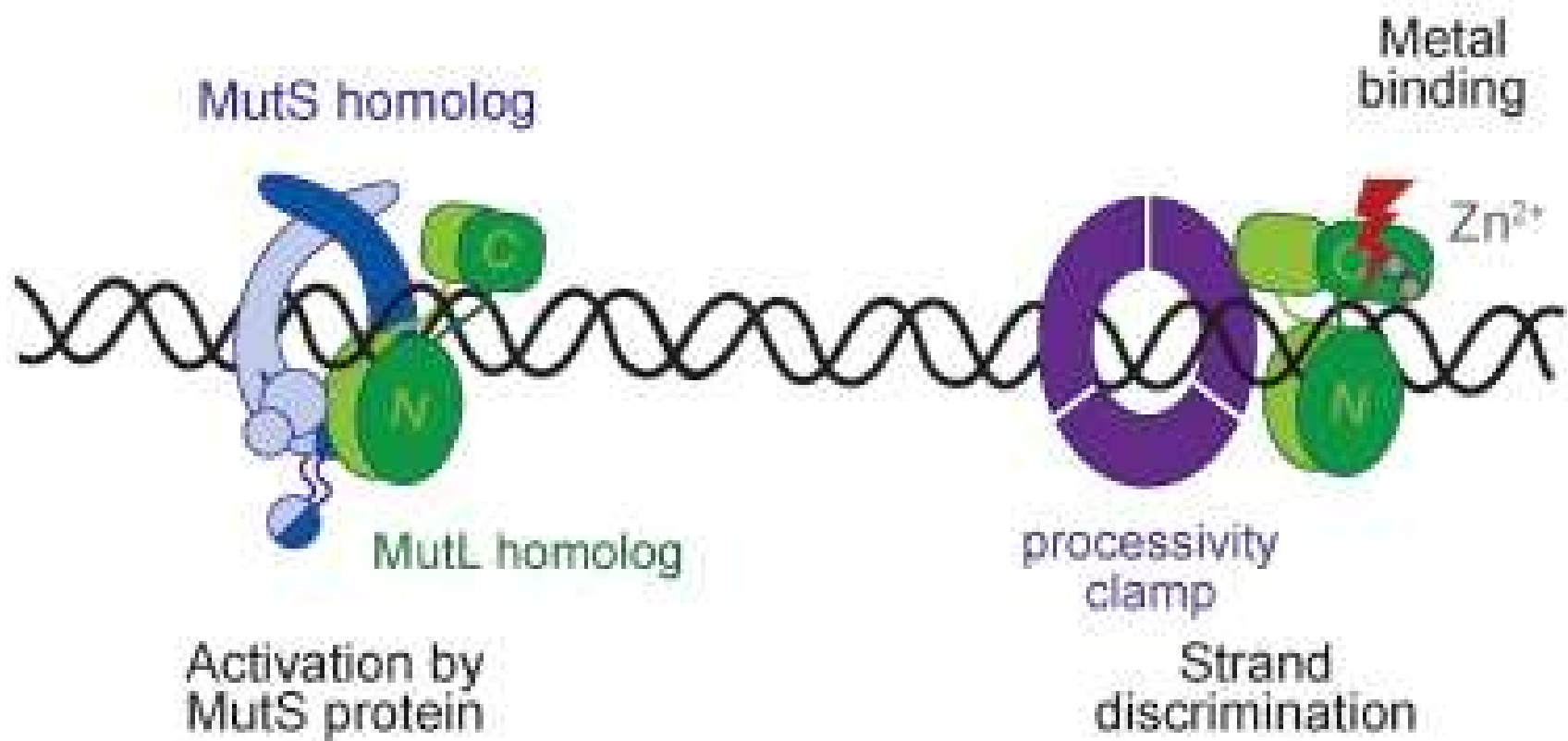
Prokarioti



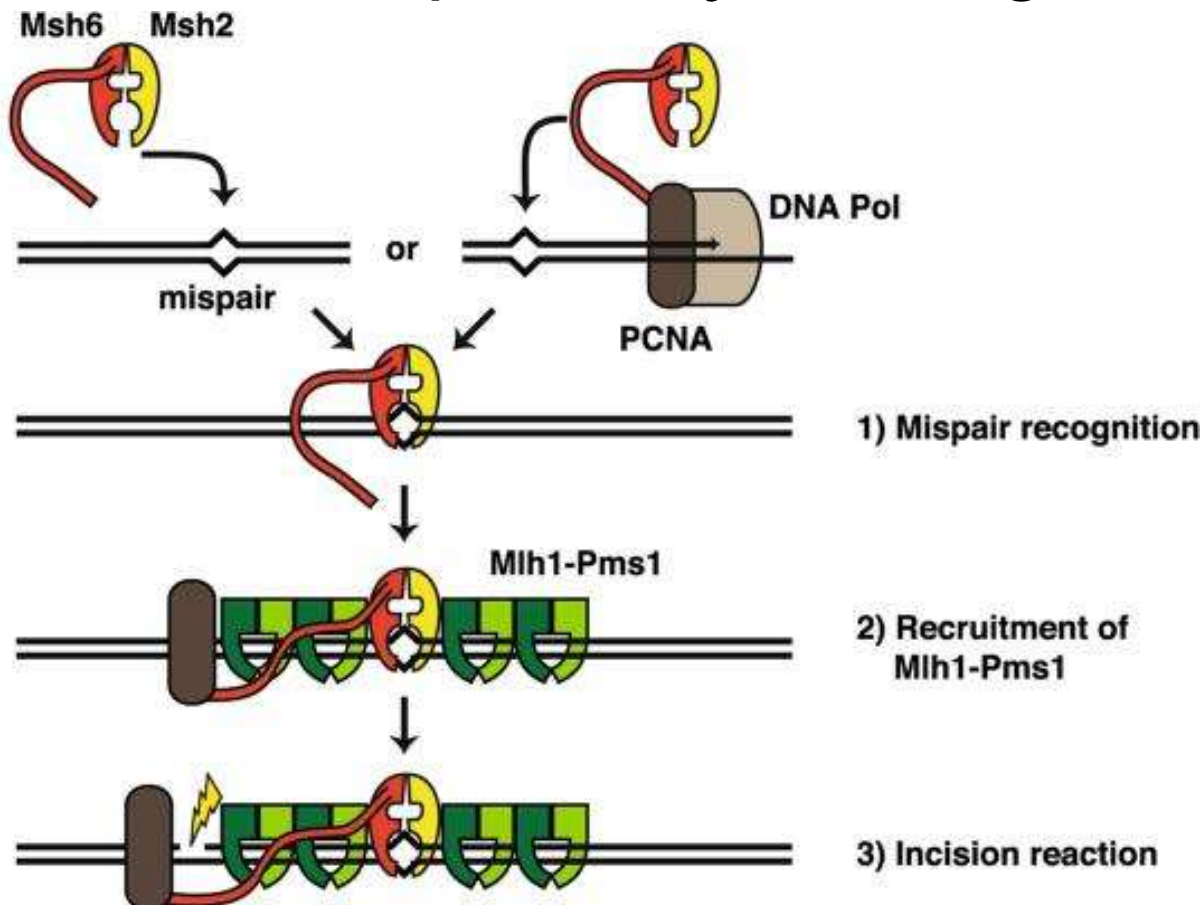
activation of endonuclease
activities in MMR

Eucarioti

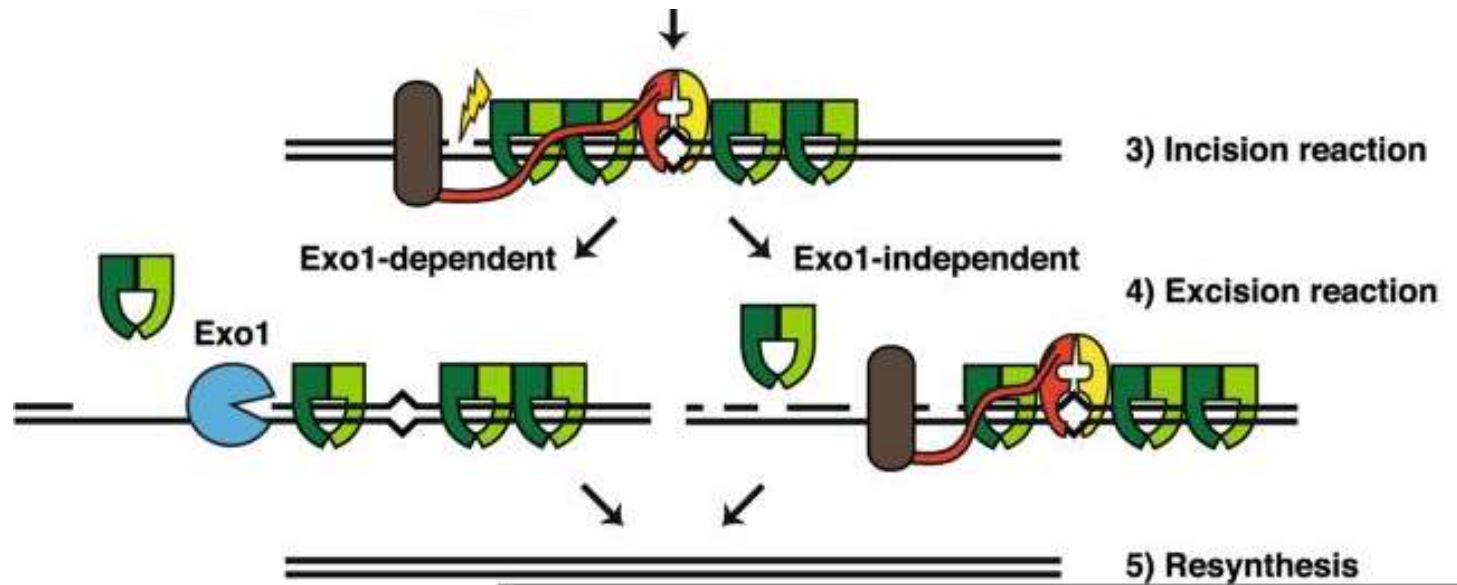
B activation of endonuclease activities in MMR



alternative excision pathways during MMR



alternative excision pathways during MMR



MSH2 forma un eterodimero con **MSH6** (misappaiamento) o **MSH3** (loop di inserzione-delezione) e si lega al DNA segnalando l'elica templato

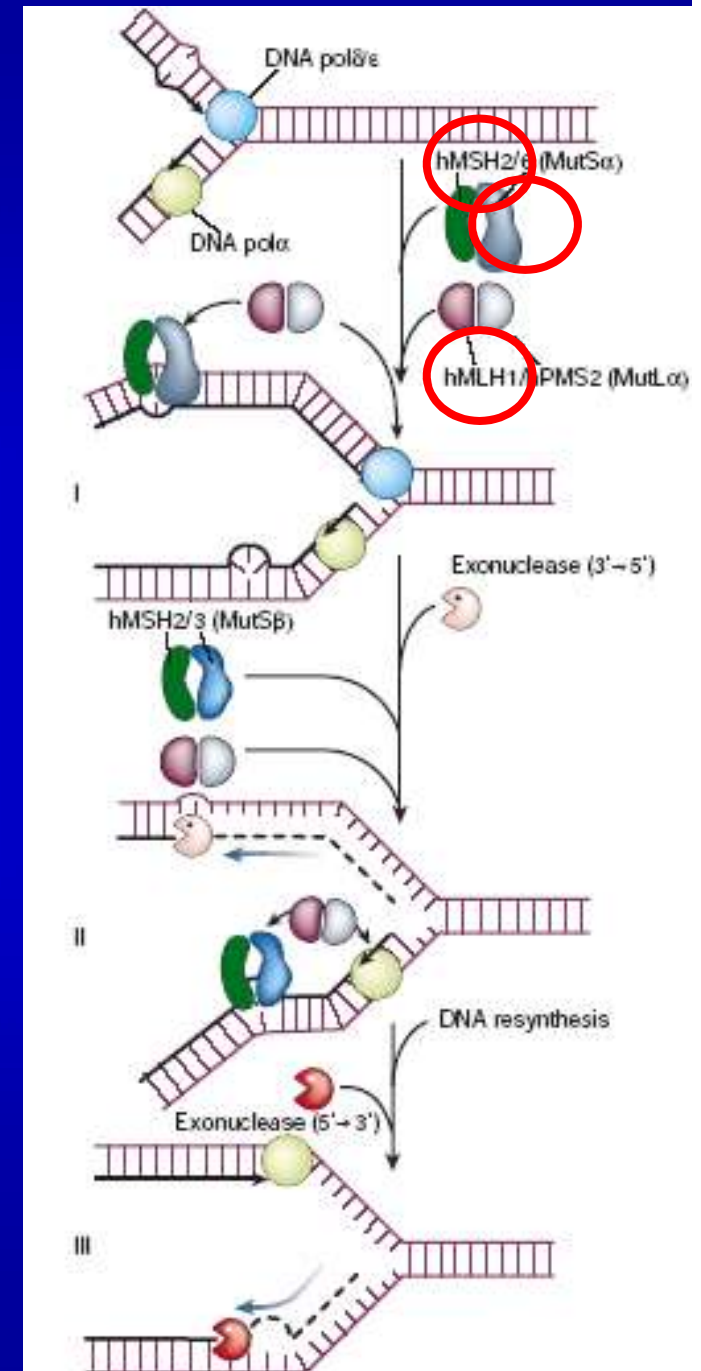


L'eterodimero **MLH1-PMS2**, talvolta legato anche a **PMS1**, coordina il legame con l'esonuclease **EXO1** 3'- 5' ed una o più elicasi

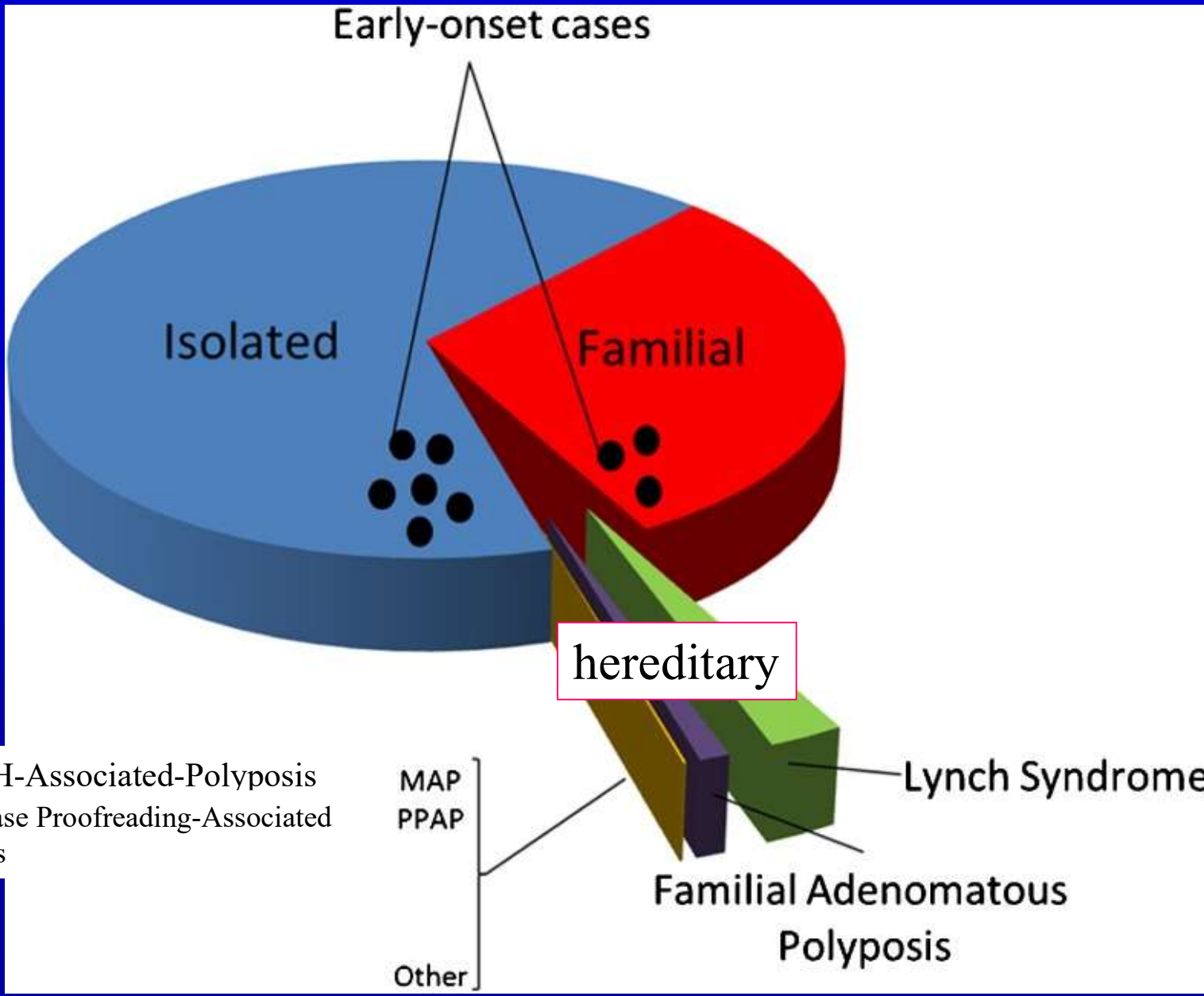


EXO1 rimuove le basi errate e il gap è riempito da **DNA polimerasi** e **ligasi**

MSH2, **MSH3** e **MSH6** sono omologhi a **mutS** di *E.coli*; **MLH1**, **PMS1** e **PMS2** sono omologhi a **mutL** di *E.coli*



Colorectal cancers

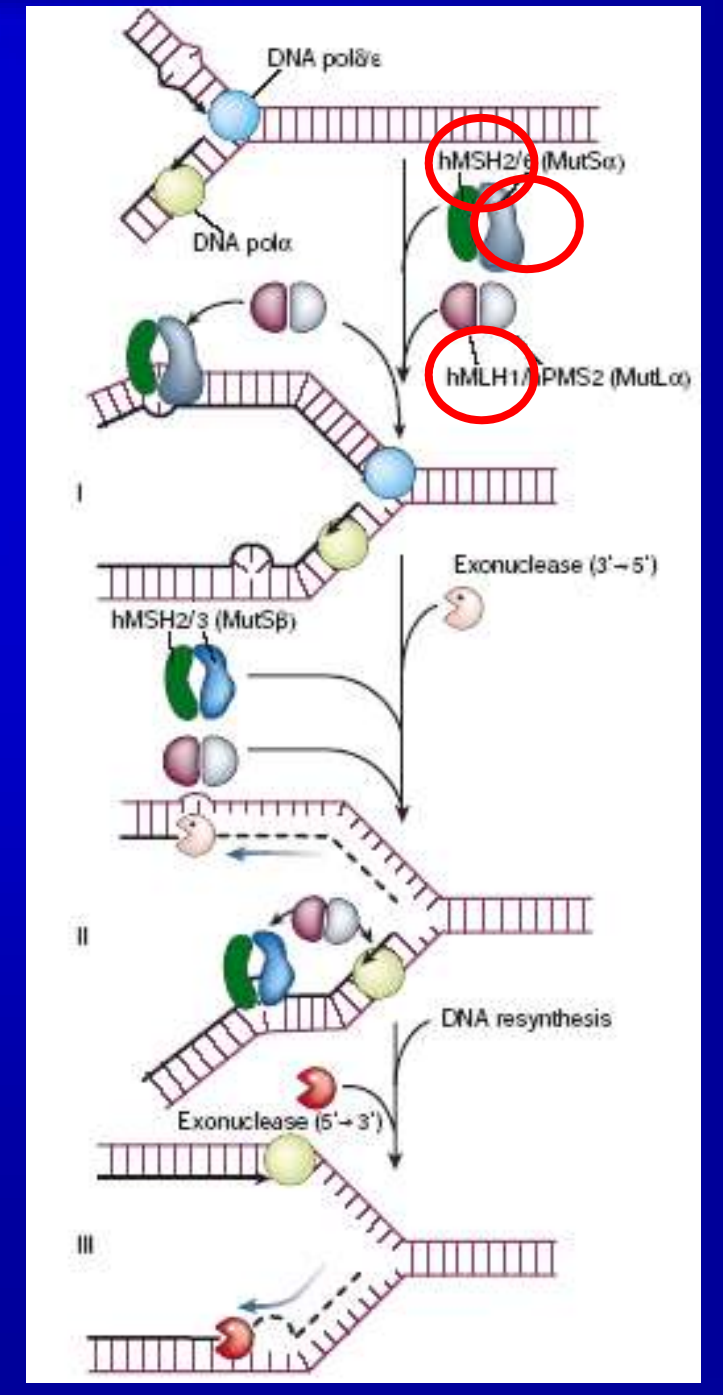


HNPCC – Lynch syndrome cancro colon-rettale ereditario non poliposico

hMLH1: 50% delle mutazioni

hMSH2: 35%

hMSH6: 10%



Mutazioni in un gene del MMR → predisposizione a HNPCC (cancro colon-rettale ereditario non poliposico),

aumento 100-1000X del tasso generale di mutazione, rischio di tumori al colon-retto

hMLH1: 50% delle mutazioni in HNPCC

hMSH2: 35%

hMSH6: 10%

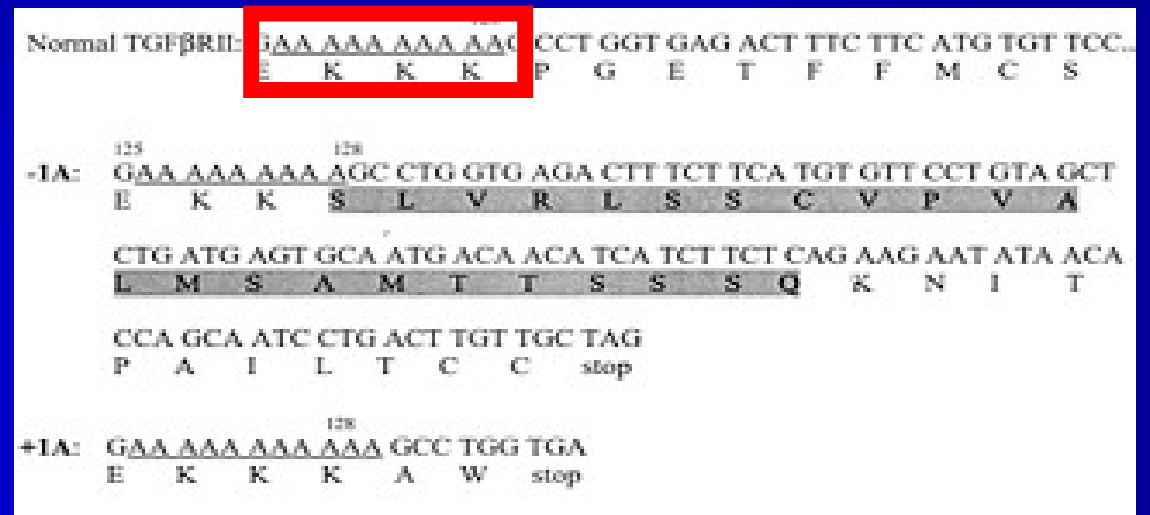
Le sostanze chimiche in grado di indurre mutazioni sono contenute soprattutto nel cibo o sono prodotte dal metabolismo alimentare → maggiori probabilità di colpire la mucosa della zona colon-rettale, dove il cibo permane 24-36 ore

Mutational frequency of the target gene microsatellite sequences

Gene	Total (%)
ACVR2A	70/77 (90.9)
TGFBR2	69/77 (89.6)
EGFR	68/76 ^a (88.3)
BMPR2 (A)11	57/76 ^a (75.0)
E2F4	40/75 ^b (53.3)
MSH3	38/77 (49.4)
BAX	34/77 (44.2)
TCF7L2	32/77 (41.6)
BMPR2 (A)7	27/77 (35.1)
PRDM2	22/77 (28.6)
MSH6	19/77 (24.7)
IGF2R	16/77 (20.8)
B2M	7/77 (9.1)
APC	6/77 (7.8)
PTEN	6/77 (7.8)
AXIN2	3/77 (3.9)

L'alterazione del MMR aumenta l'insorgenza di mutazioni nel gene codificante per il recettore di tipo II per il TGF β (TGF β è un inibitore della proliferazione cellulare)

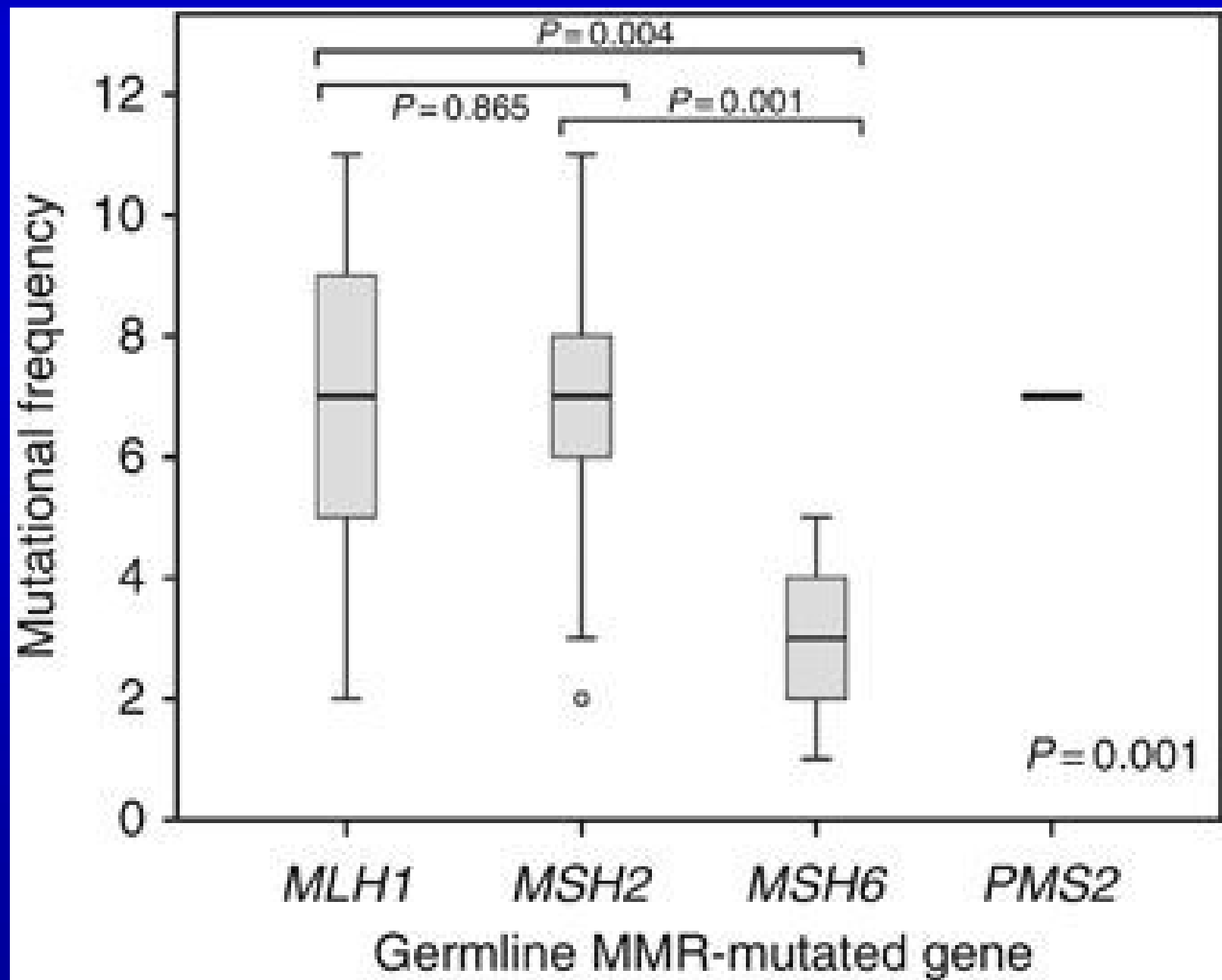
Tale gene contiene una fila di 10 Adenine dove si ha frequente “slittamento” della DNA polimerasi → sequenze con 9 o 11 A, corrette da MMR



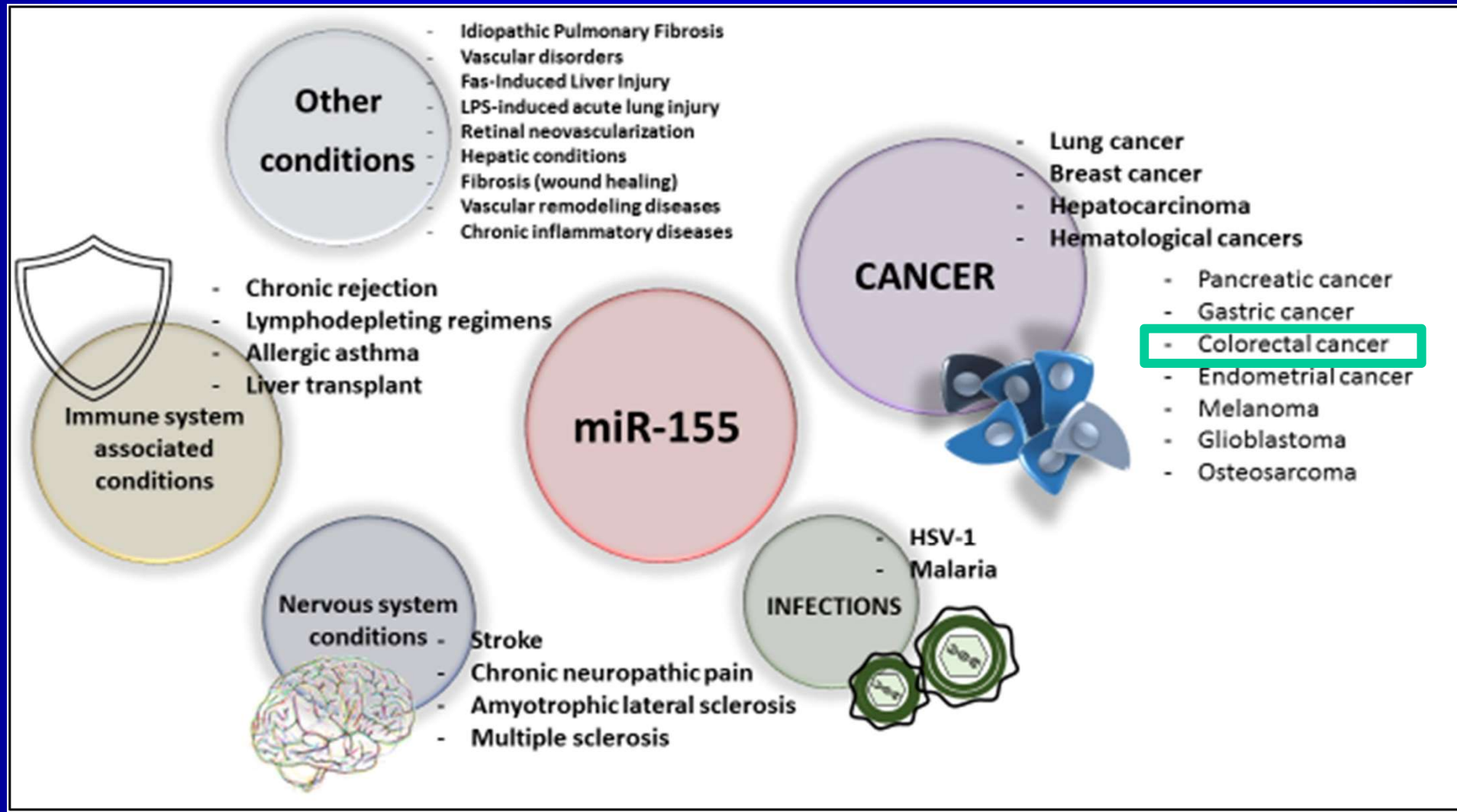
Pazienti con alterazioni del MMR: l'errore permane → recettore per TGF β non funzionale

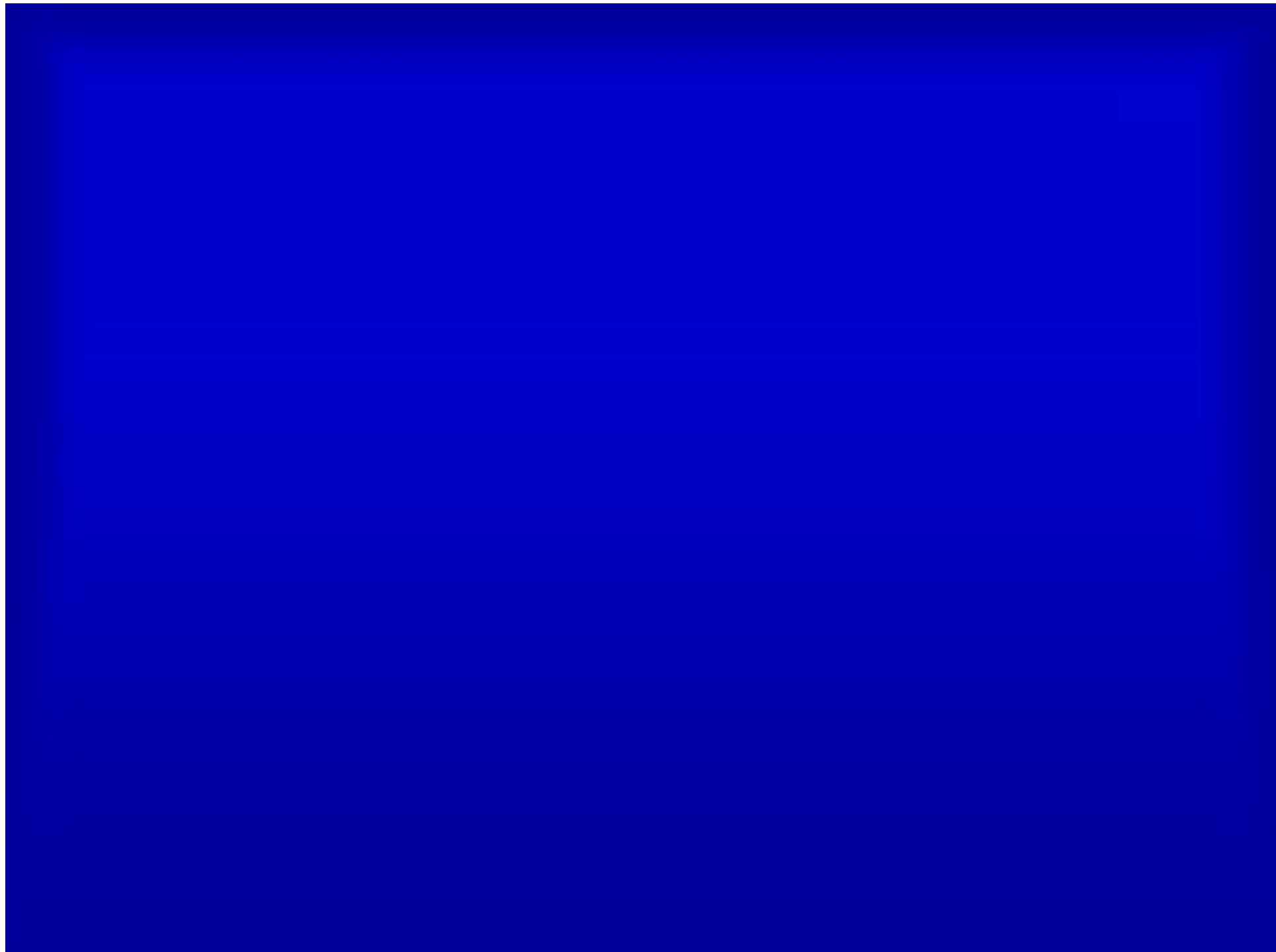


La mutazione rende le cellule insensibili alla inibizione della crescita indotta da TGF β → sviluppo incontrollato caratteristico dei tumori

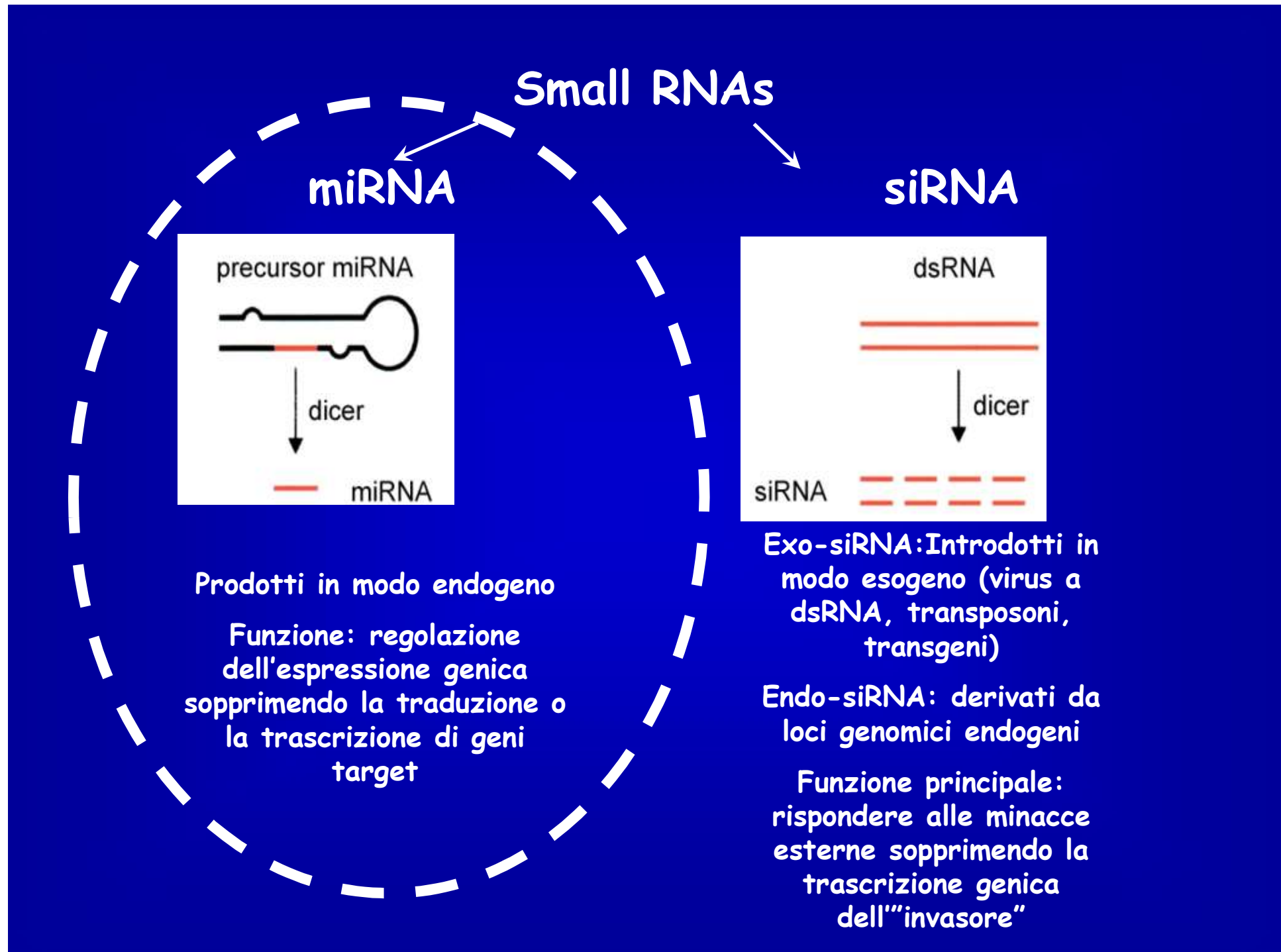


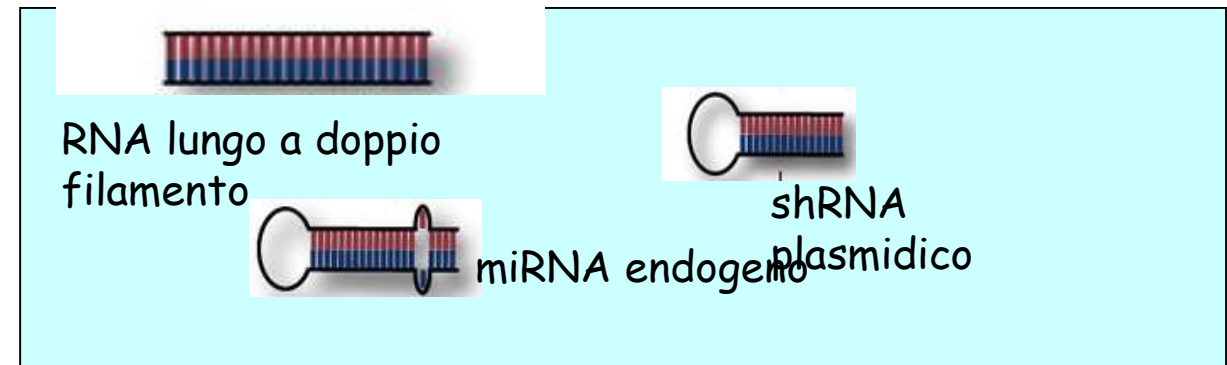
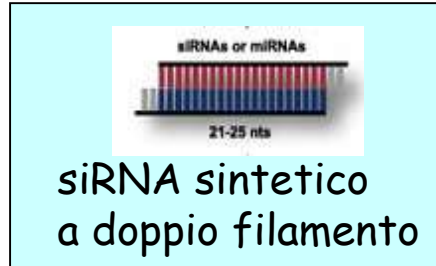
MiR-155 is involved in a broad spectrum of disease states





Overexpression of miR-155 decreases the expression of MLH1, MSH2, and MSH6

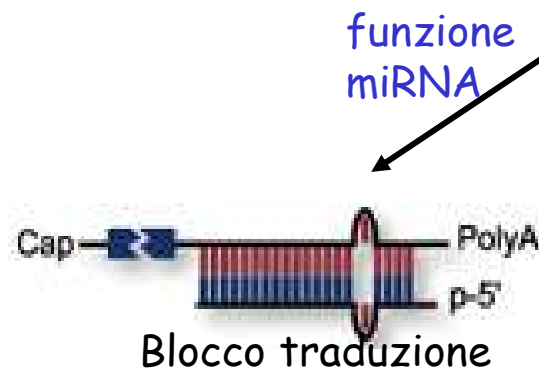




Formazione del complesso RISC (RNA induced silencing complex)

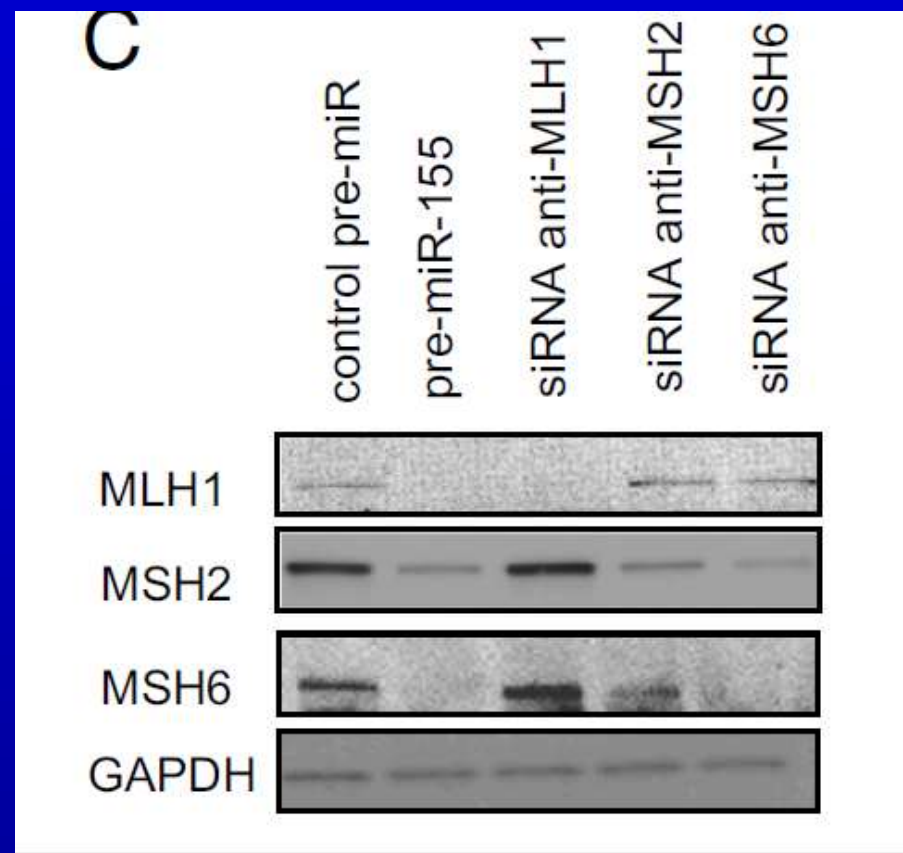
Complesso RISC attivato

funzione
siRNA



Formazione doppia elica con RNA complementare
e attacco di endonucleasi

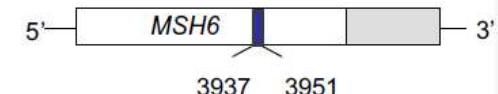
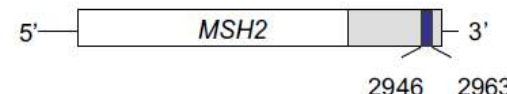
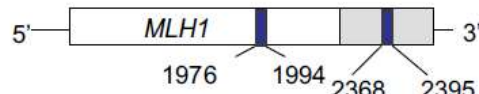
Overexpression of miR-155 decreases the expression of MLH1, MSH2, and MSH6 in CRC cells



Overexpression of miR-155 decreases the expression of MLH1, MSH2, and MSH6 in ColoRectal Cancer cells

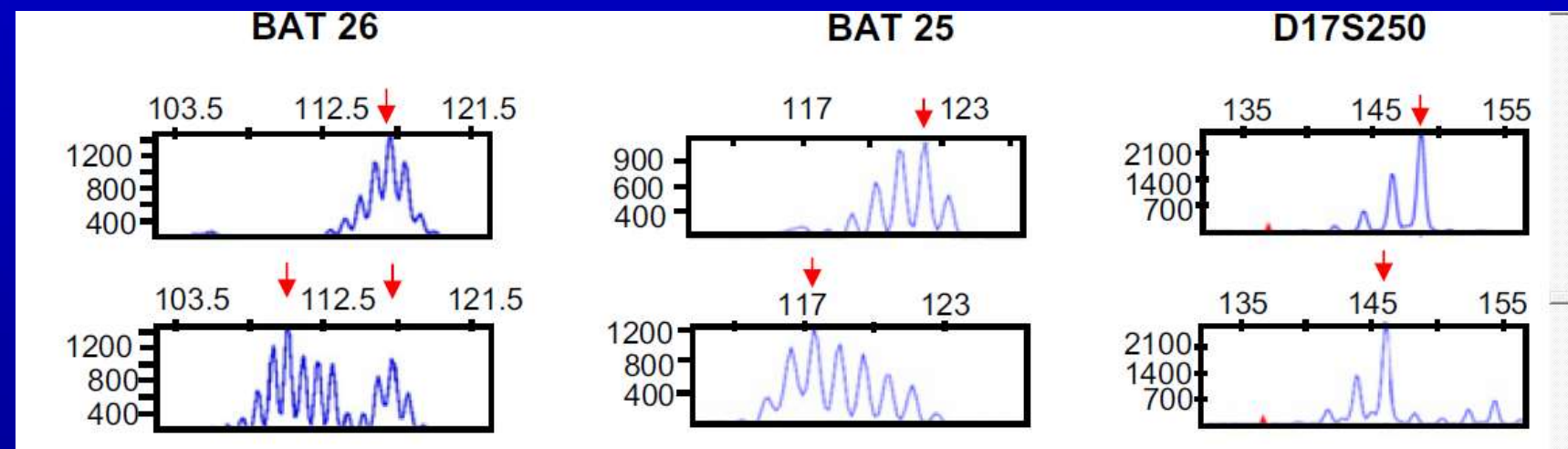
- hMLH1, hMSH2, and hMSH6 are direct targets of miR-155. (A) Locations of the target sites of miR-155 in the 3' UTRs and/or the CDS of the indicated genes

A

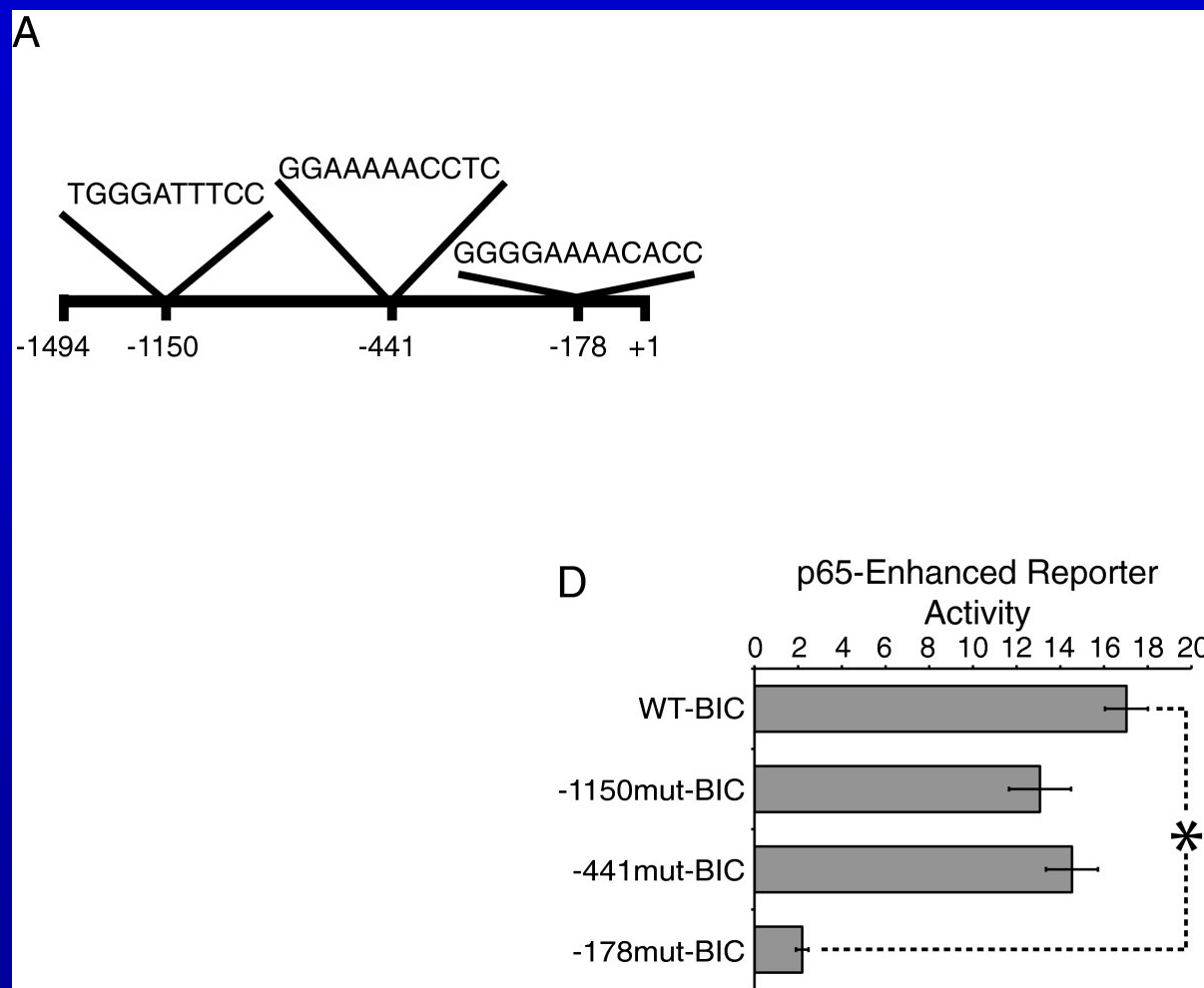


Overexpression of miR-155 decreases the expression of MLH1, MSH2, and MSH6 in CRC cells

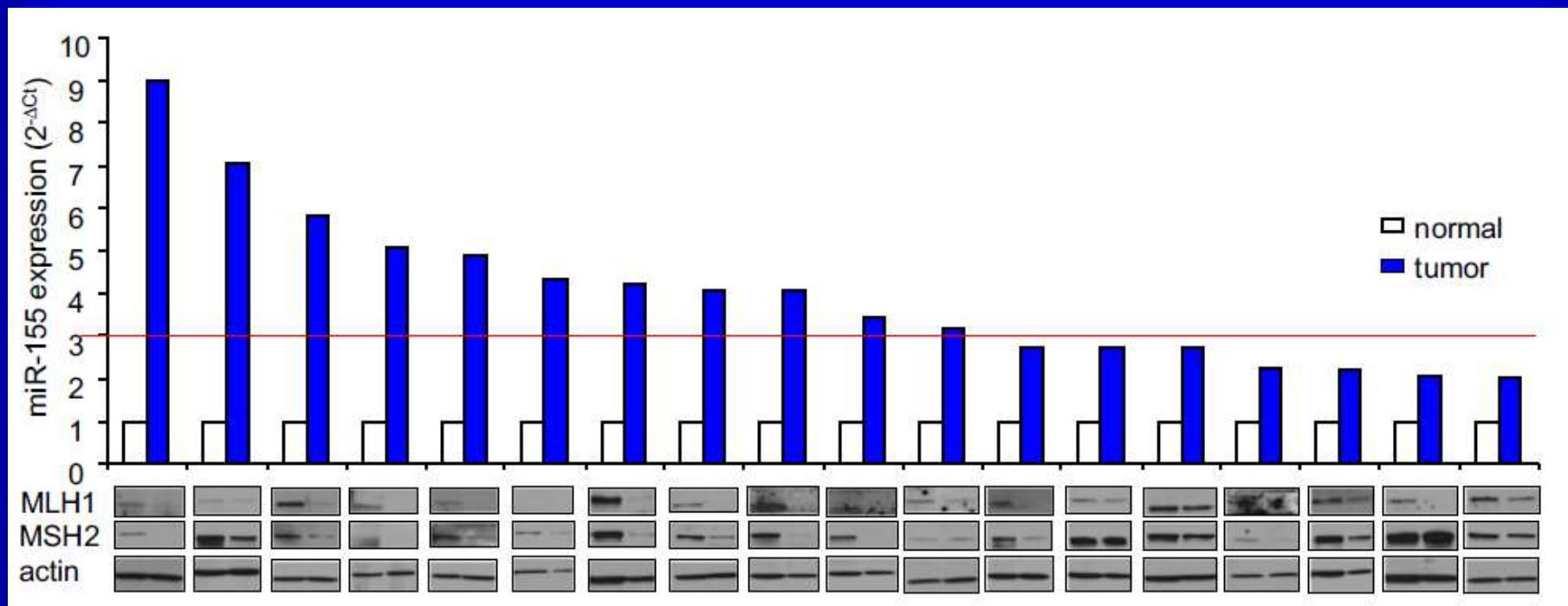
- Microsatellite analysis of Colo 155 (+) overexpression of miR-155) and (-) cells
- BAT-26 and BAT 25 (mononucleotide repeats)
- D17S250 (dinucleotide repeat)

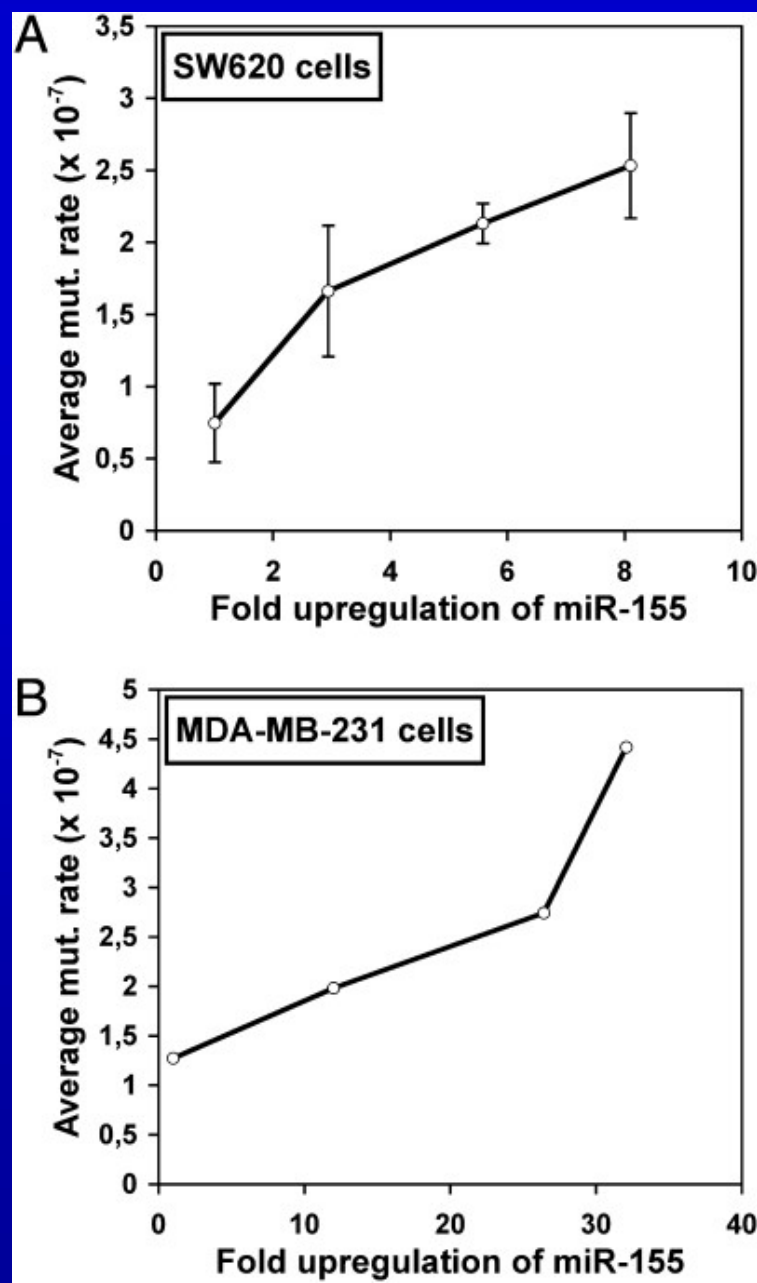


NF-κB p65 up-regulates expression from the MIR155HG promoter through an NF-κB binding site located upstream of the transcription start site BMC Molecular Biology 2013 14:24



miR-155 expression is inversely related to MLH1 and MSH2 in CRC tissues



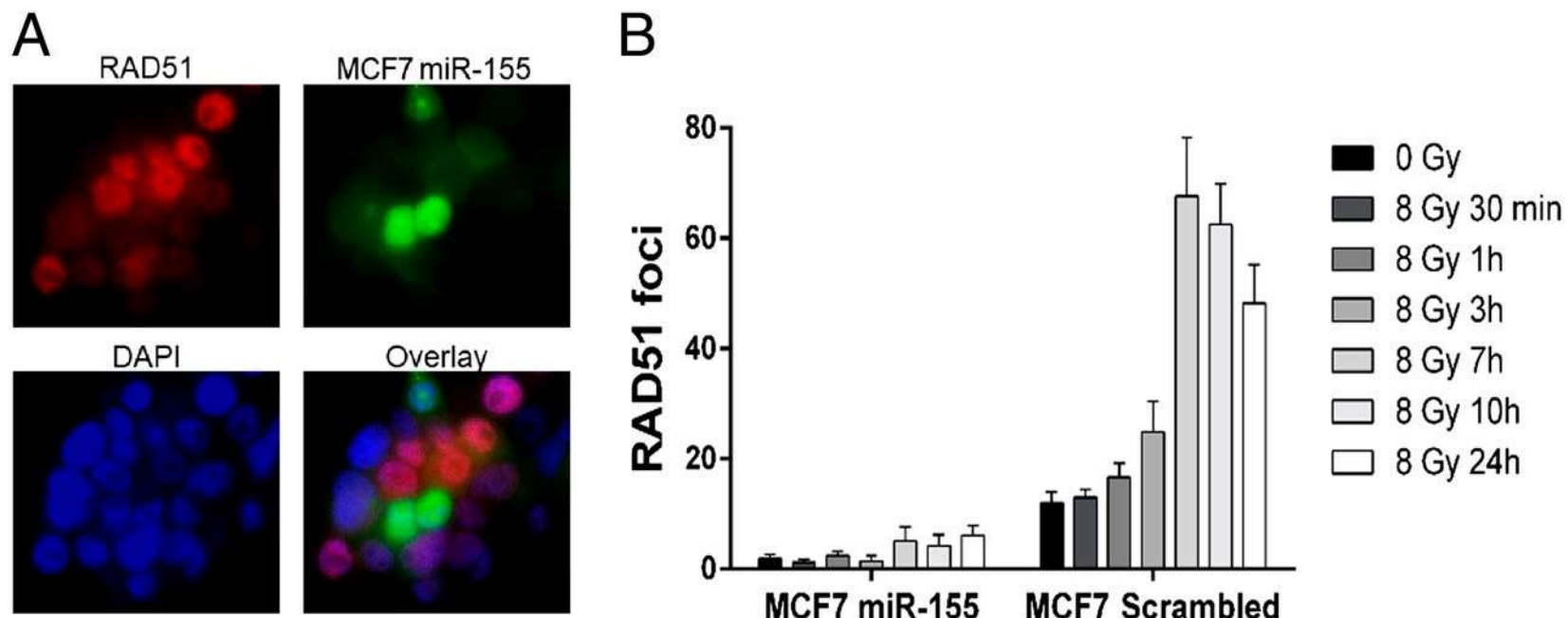


colorectal adenocarcinoma cells

breast adenocarcinoma cells

miR-155 under the control of an inducible system

miR-155 inhibits gamma-rays-induced RAD51 foci formation.



miR-155-overexpressing MCF7 cells

Gasparini P et al. PNAS 2014;111:4536-4541